

L3 SD + EEEA - Traitement d'images avancé

Stéréovision

3ème partie

Caroline Petitjean



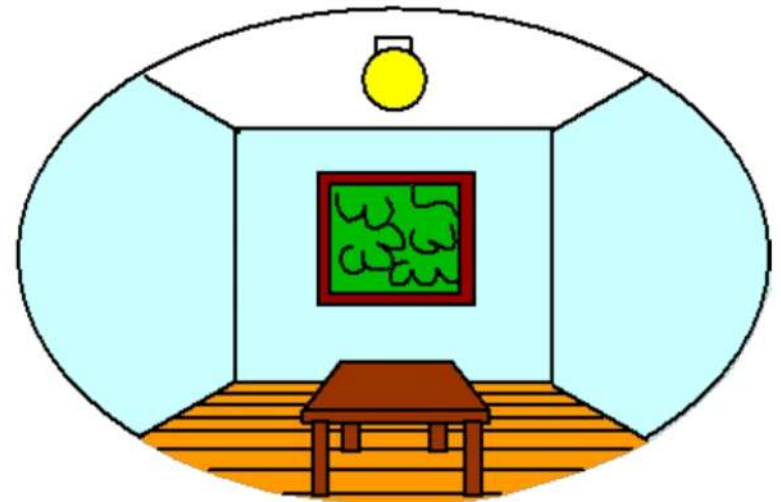
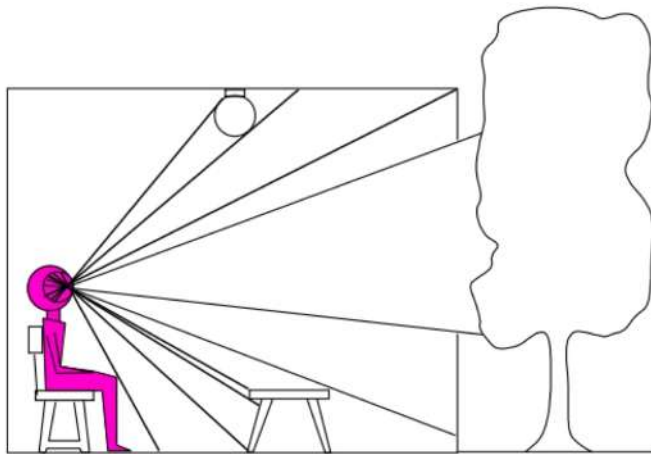
Plan

- Intro, mouvement et profondeur
- Longueur focale d'une caméra
- Estimation de la profondeur avec 2 caméras parallèles
- Stéréo matching
- Stéréovision dense vs éparses
- Dataset KITTI

Réduction de la dimension

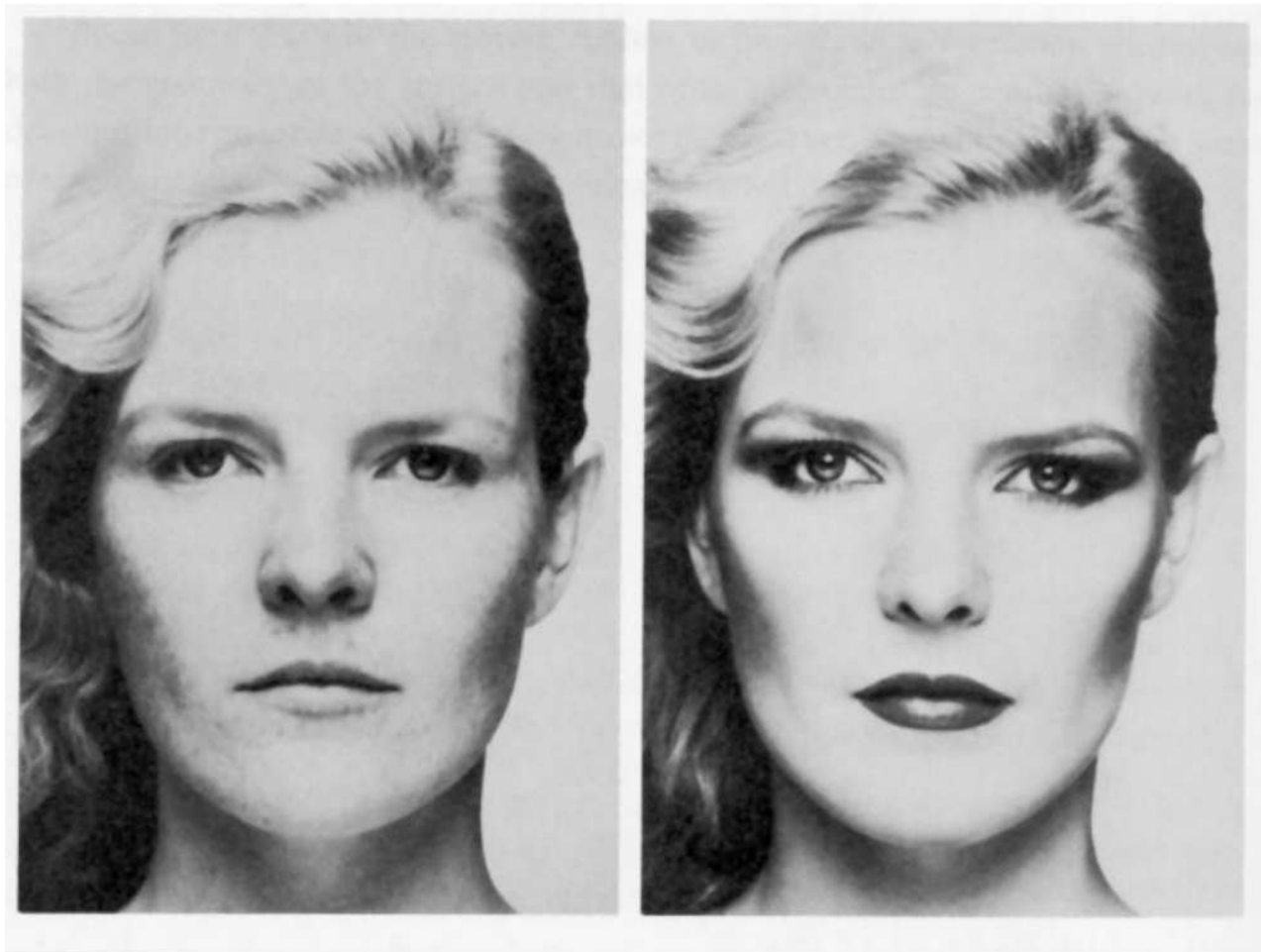
3D world

2D image

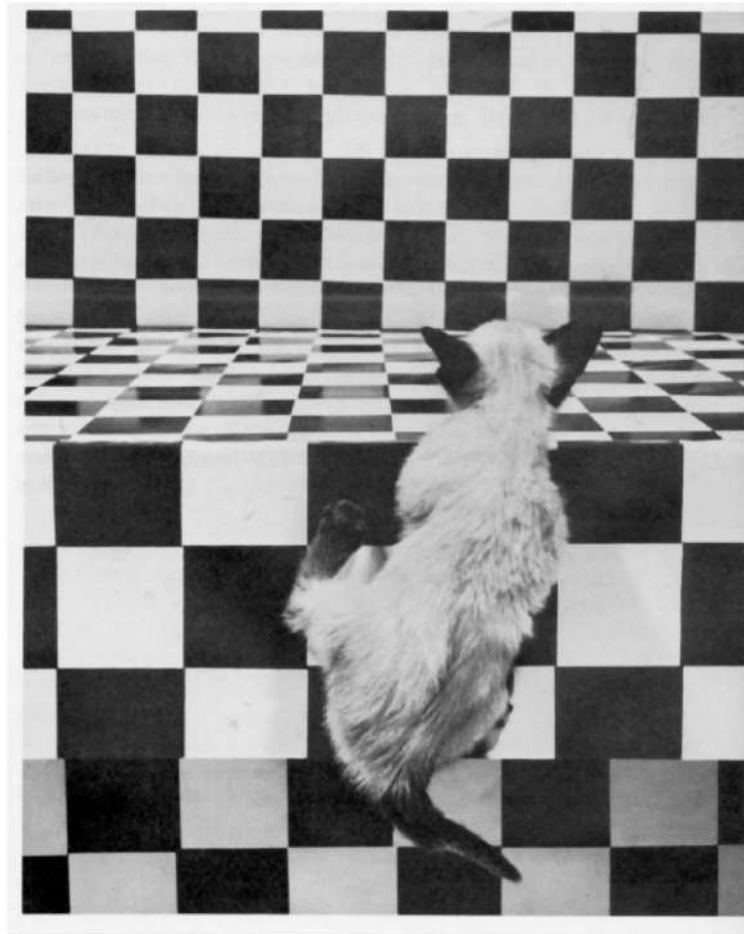


Point of observation

- Comment récupérer la 3D à partir des images en 2D ?



Merle Norman Cosmetics, Los Angeles



The Visual Cliff, by William Vandivert, 1960

Focus



From *The Art of Photography*, Canon

Mouvement



**Very distant
mountain peak**



Very small displacement

More distant tree

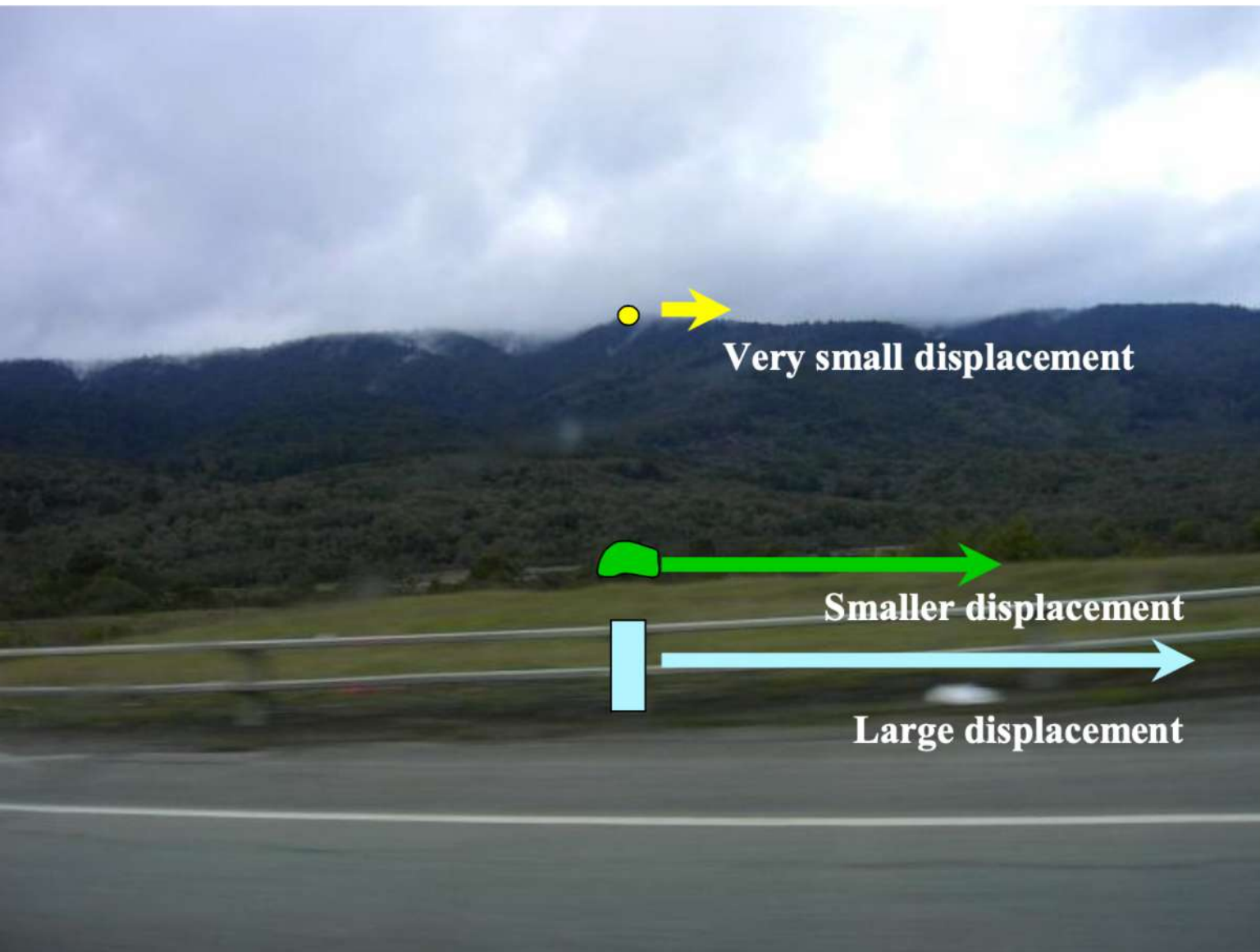


Smaller displacement

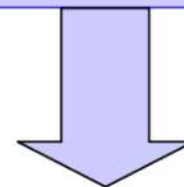
Nearby guardrail



Large displacement



INFER



Far

Midrange

Close

Dans ce cours

- On s'intéresse au fait d'estimer la profondeur d'une scène à partir du mouvement
- On dispose de 2 images acquises par 2 caméras

Acquisition binoculaire



Elphel

Acquisition binoculaire :

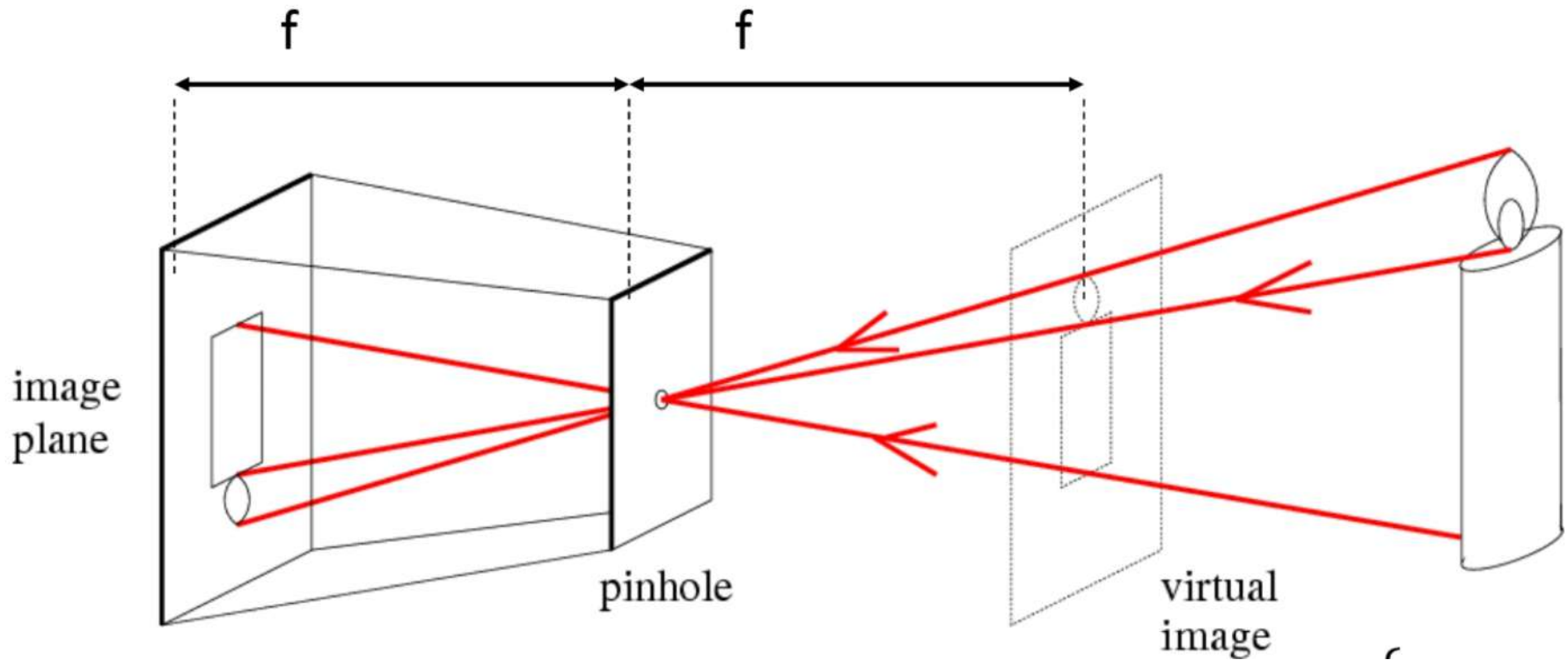
- Deux caméras, acquisition simultanée.
- Ou : une caméra qui se déplace (si scène statique !).
- Intérêt : acquisition de la profondeur.
- Applications : industrie, robotique, automobile (ADAS), réalité augmentée, cinéma, métrologie, cartographie, etc.



ZED / Stereolabs

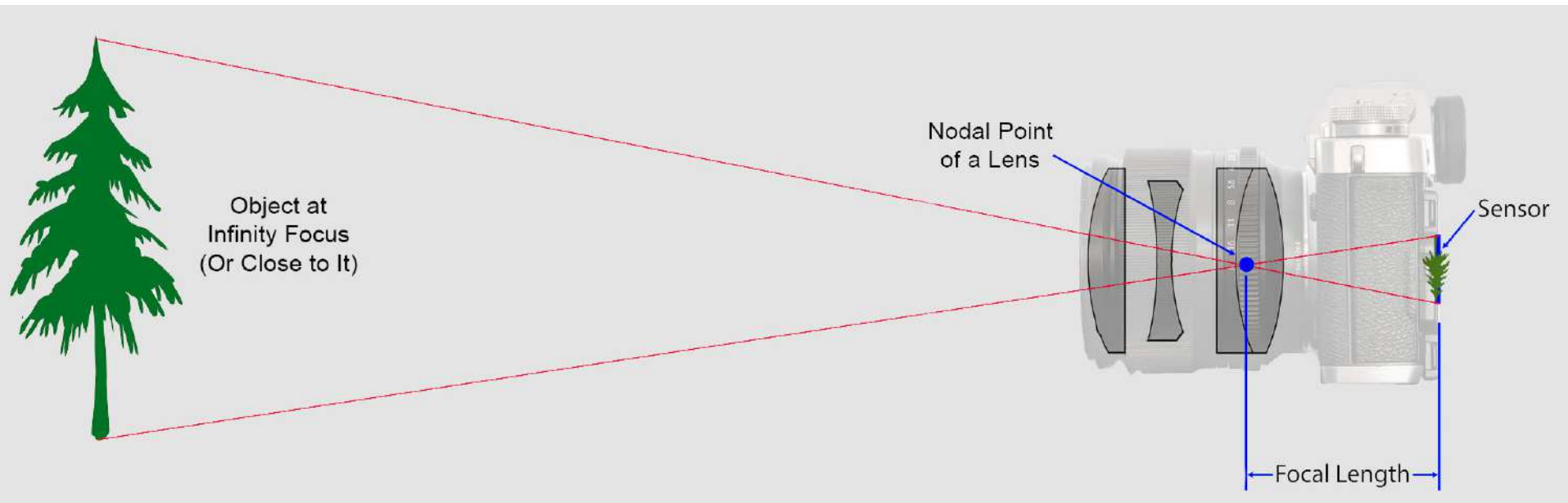


Pinhole caméra (sténopé)



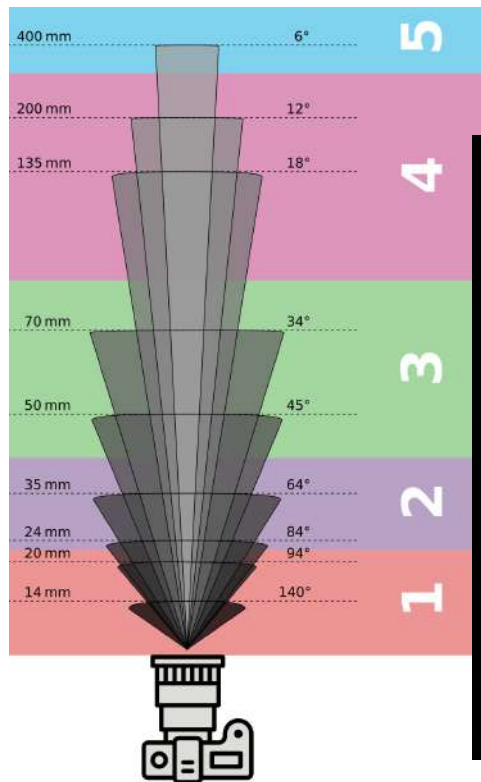
Habituellement, le plan de l'image est dessiné devant le point focal

Longueur focale



<https://photographylife.com/what-is-focal-length-in-photography>

Variation de la longueur focale



40mm

56mm

100mm



18 mm

55 mm



[focal-length-lesson-explains-](#)

[logs/phone-cameras-selfies-](#)

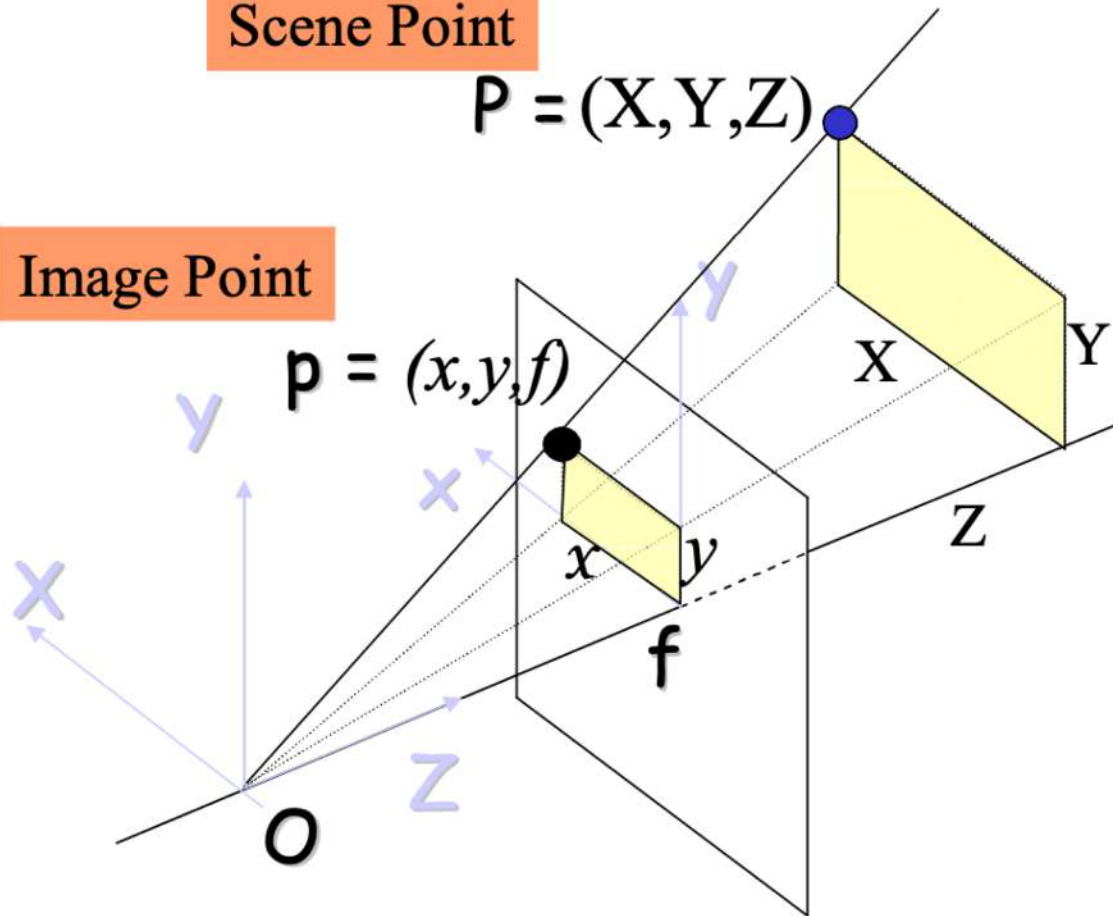
[distort-face-making-face-nose-look-wider-longer/](#)

Scene Point

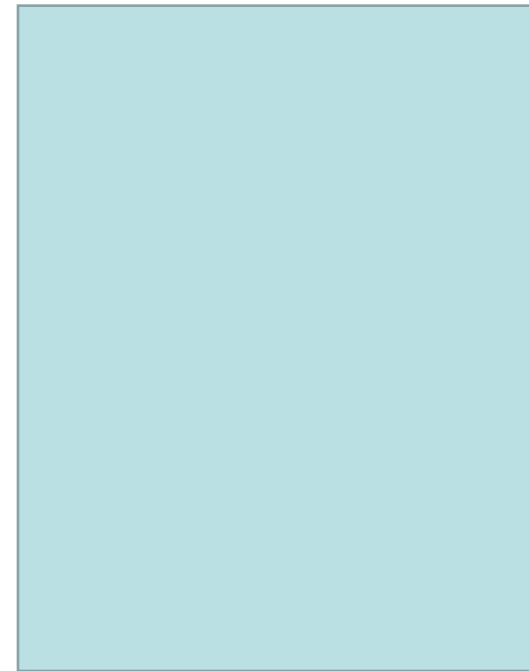
$$P = (X, Y, Z)$$

Image Point

$$p = (x, y, f)$$



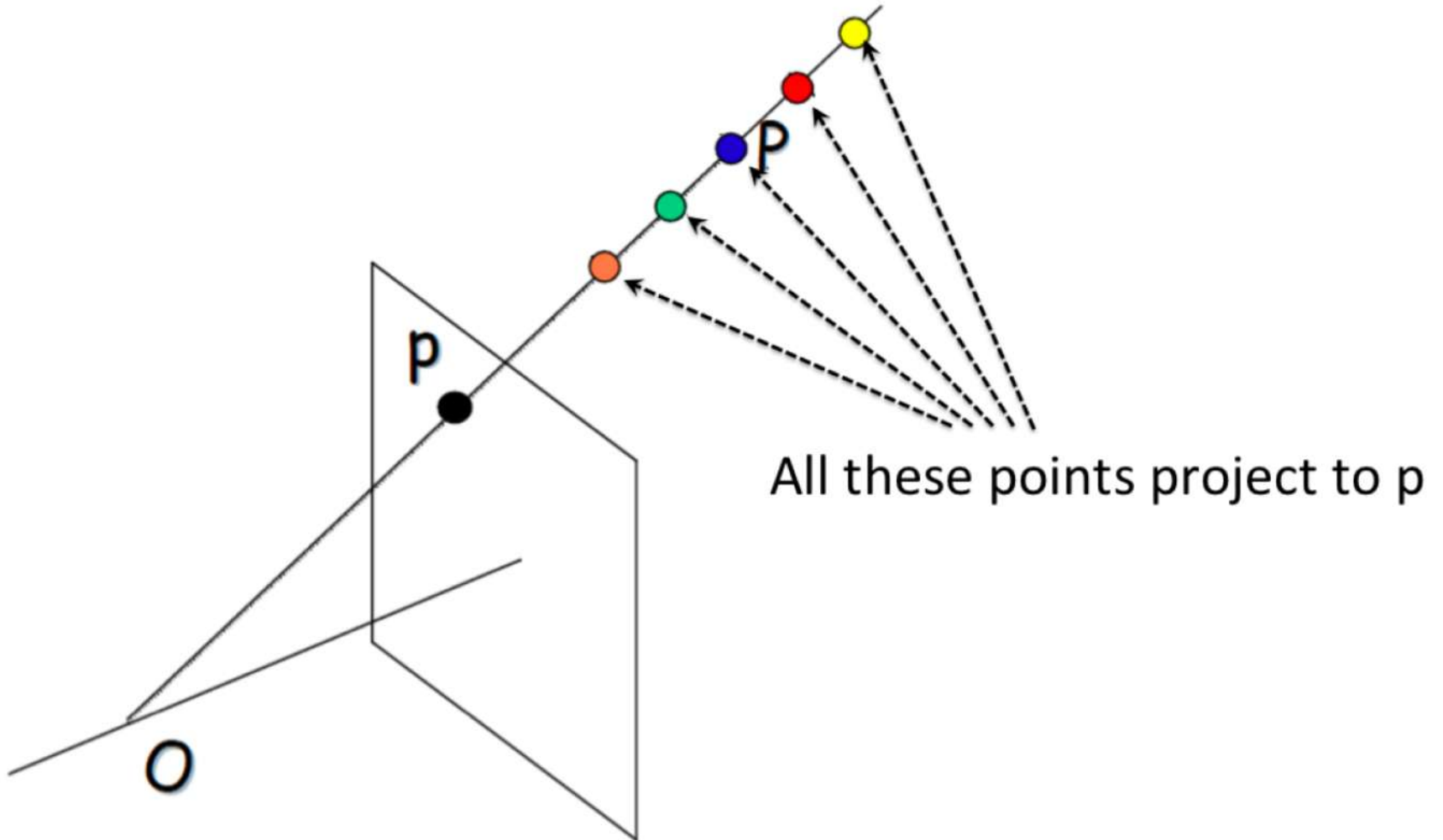
Perspective Projection Eqns



x en fonction de X, Z, f ?

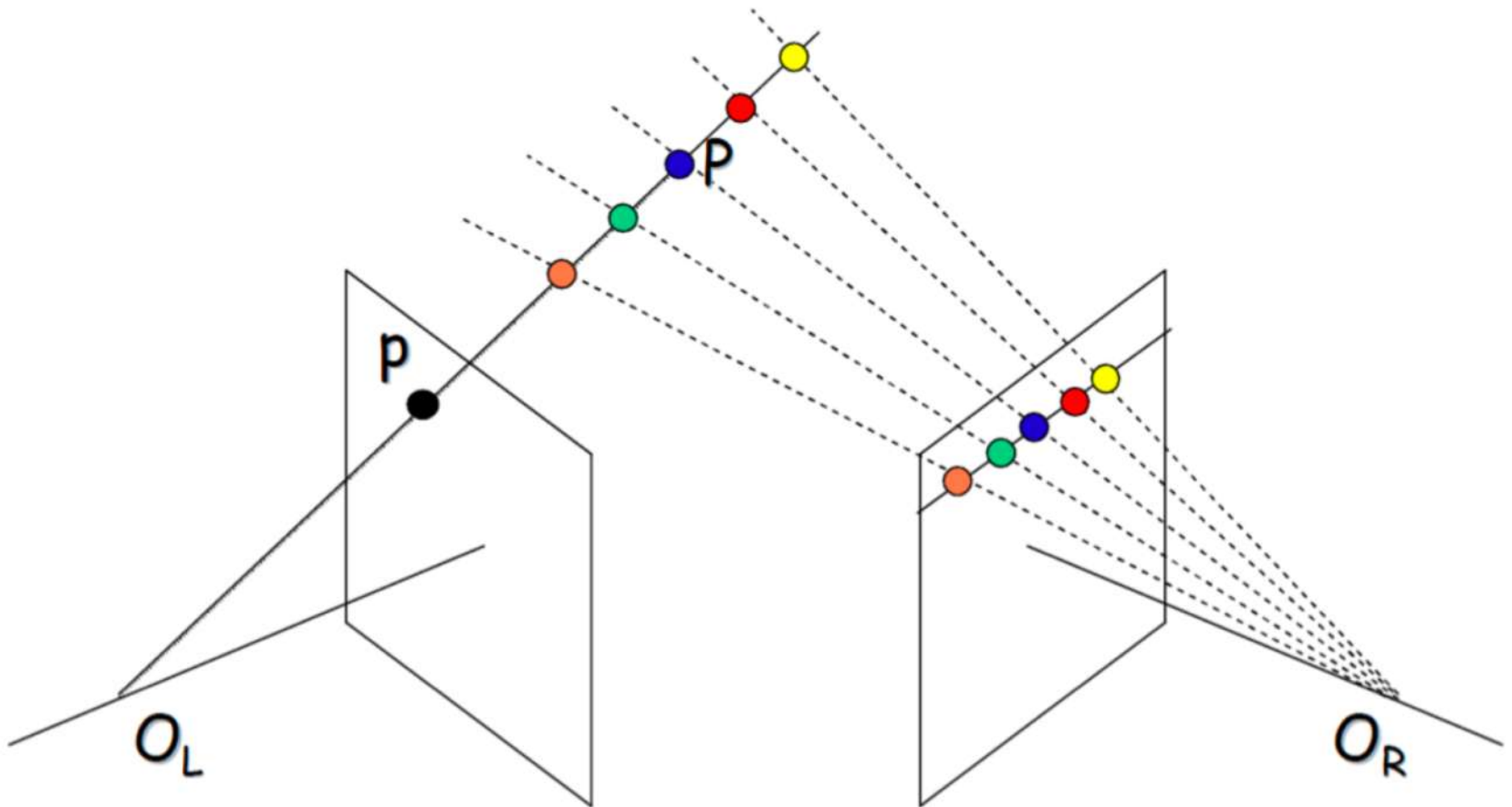
y en fonction de Y, Z, f ?

Une seule caméra

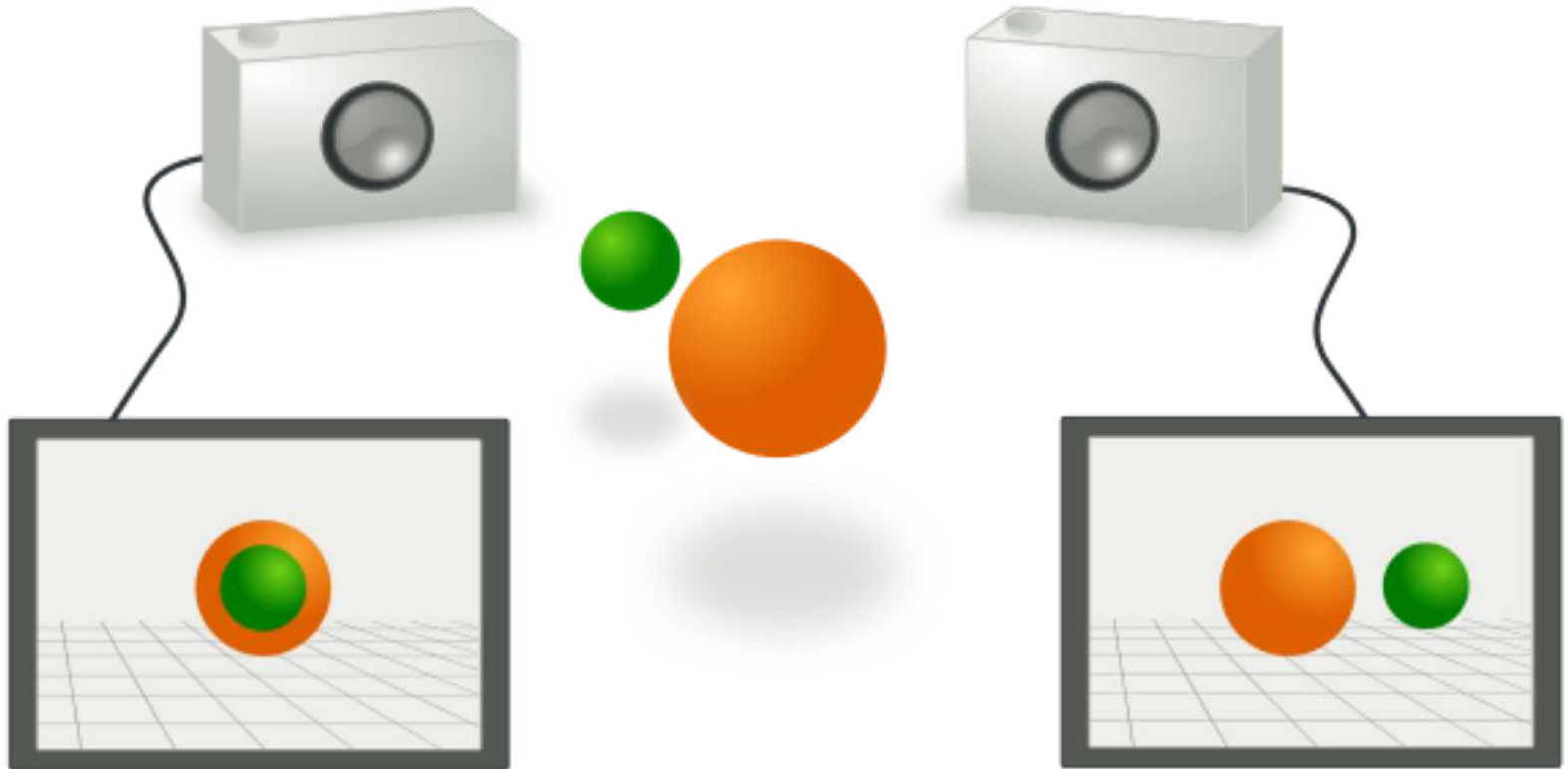


Ajout d'une 2^{ème} caméra

- All points on projective line to P in left camera forment une ligne dans l'image de droite



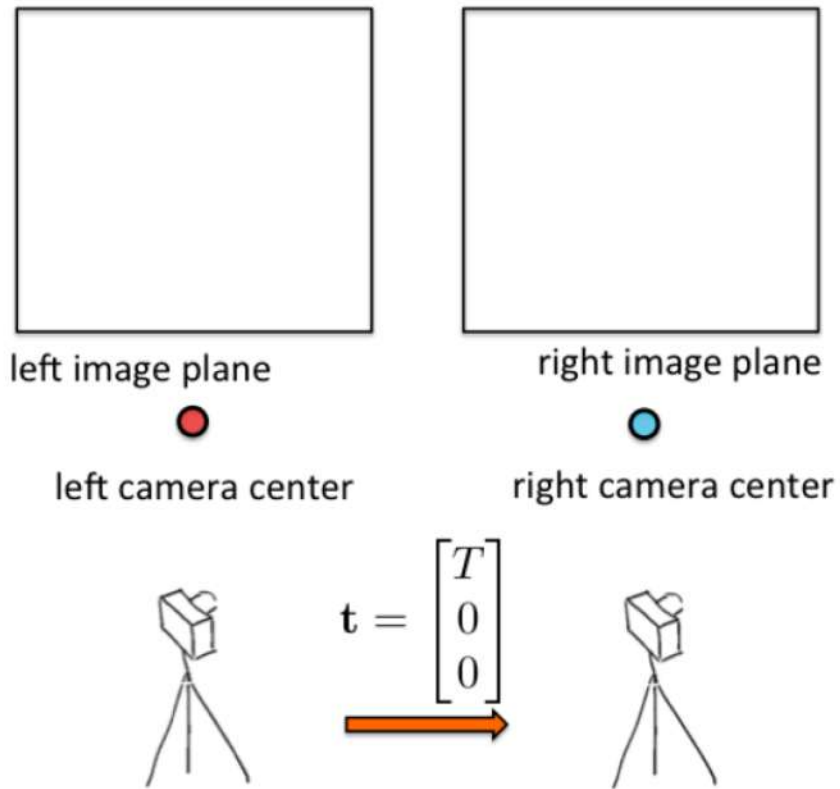
Géométrie épipolaire



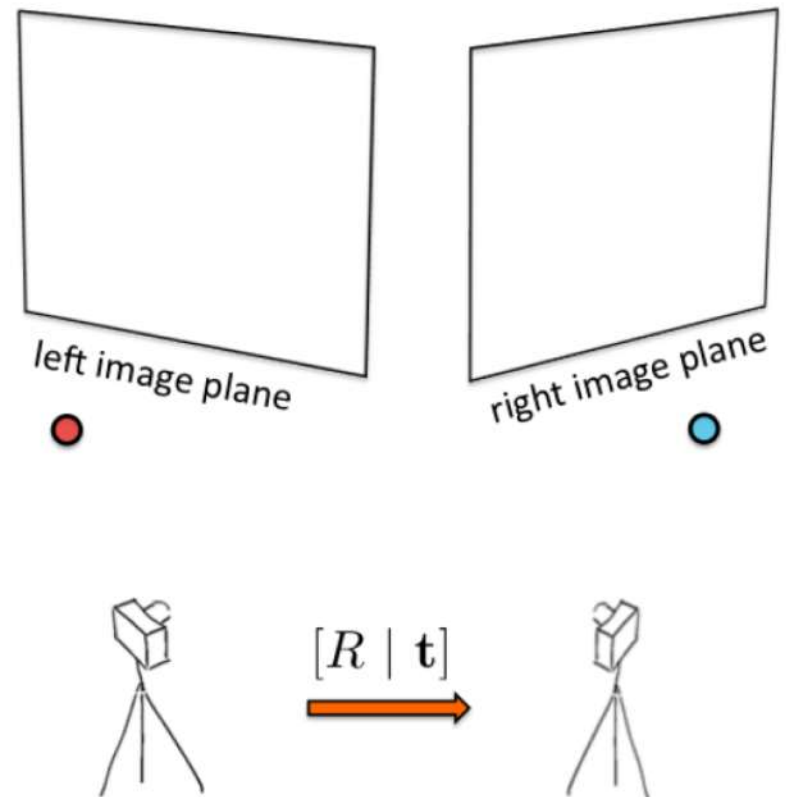
Par Arne Nordmann (norro) — Own illustration, CC BY-SA 3.0,
<https://commons.wikimedia.org/w/index.php?curid=3550774>

Géométrie épipolaire

Parallel stereo cameras:



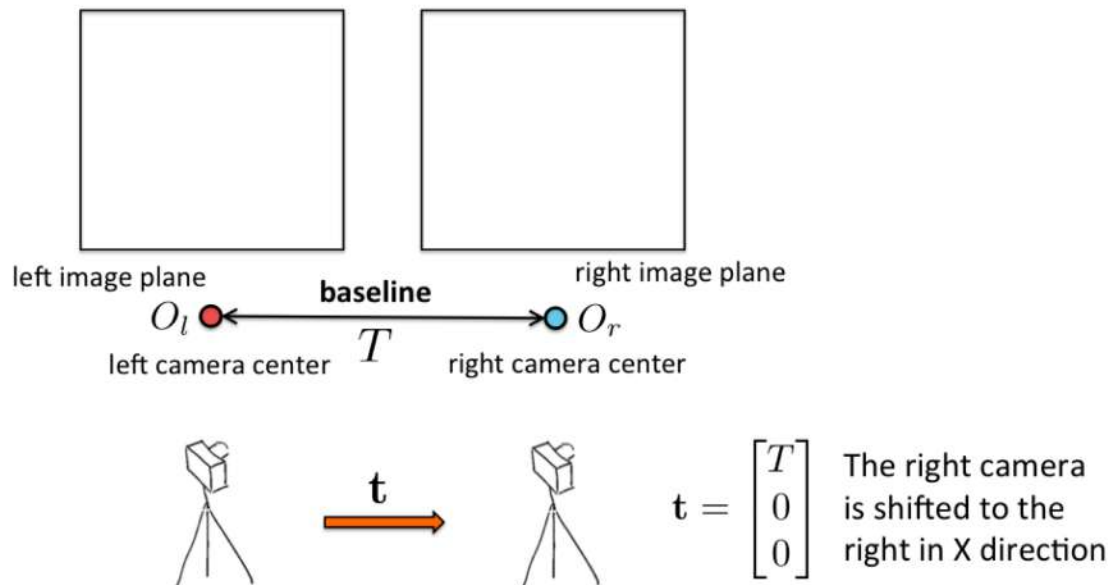
General stereo cameras:



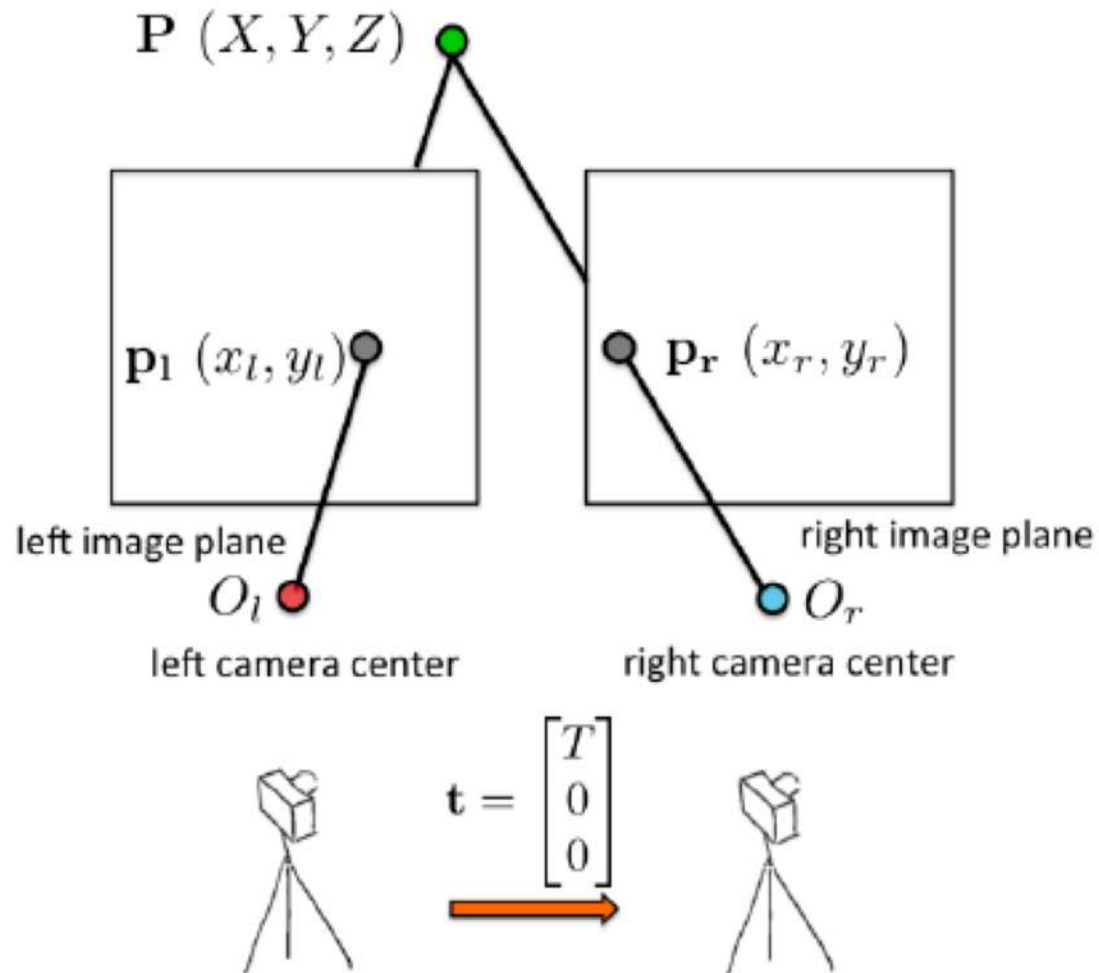
Cas simples :

2 caméras parallèles

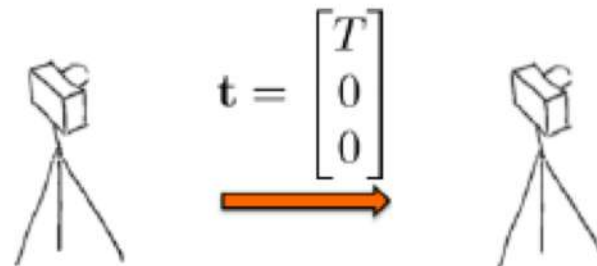
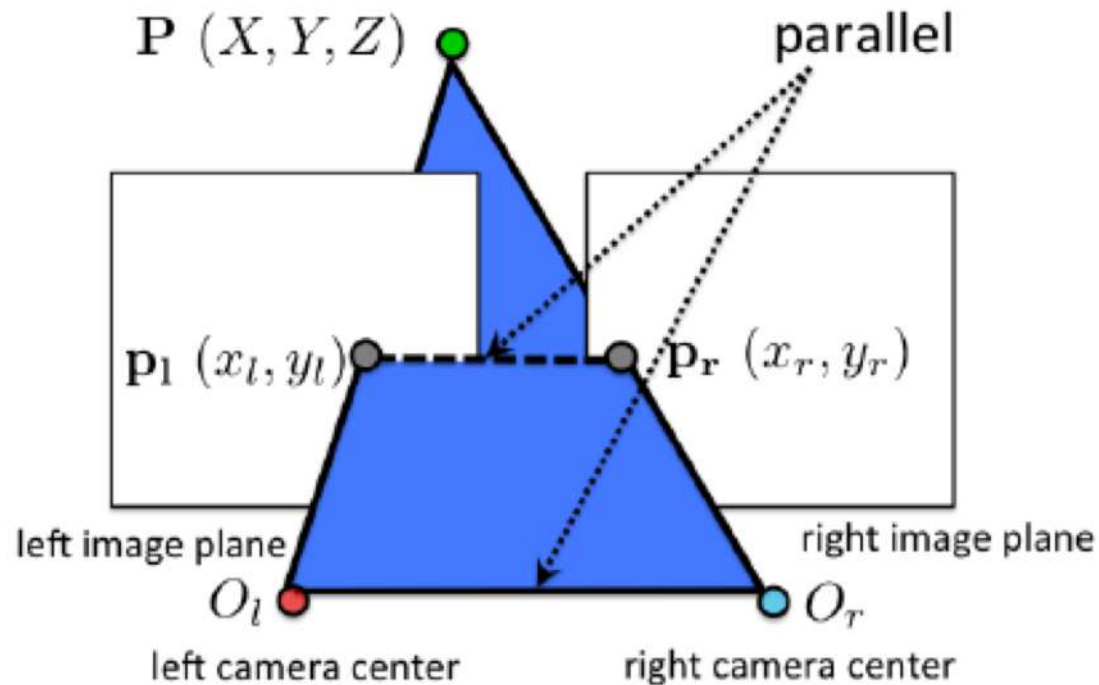
- Image planes of cameras are parallel to each other and to the baseline
- Camera centers are at same height
- Focal lengths are the same



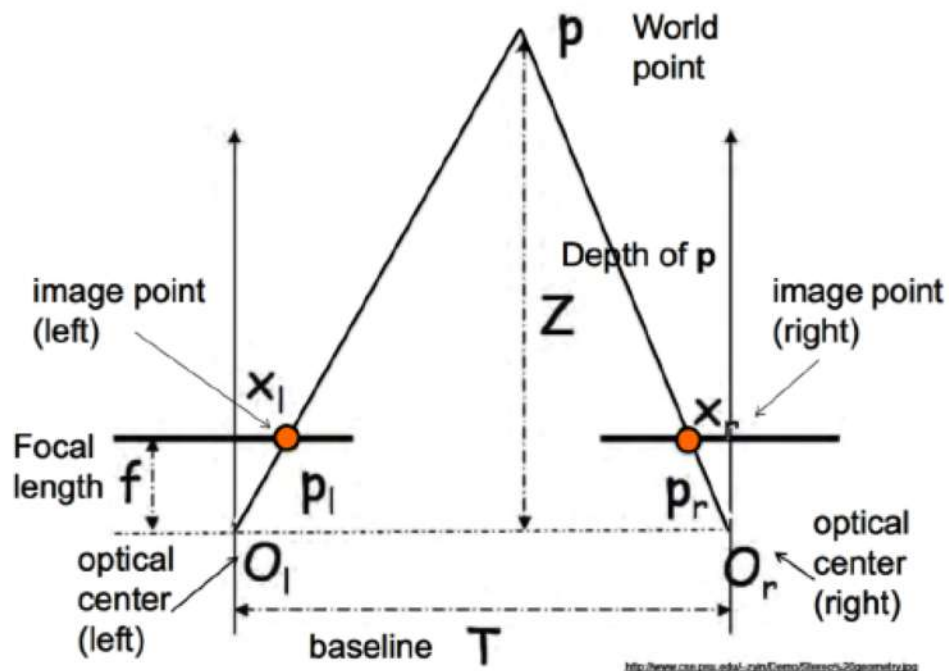
Estimation de la profondeur



Estimation de la profondeur



Estimation de la profondeur



The diagram illustrates the geometry of triangulation. It shows a camera model with focal length f and a baseline T (the distance between two camera centers). The disparity d is the difference in pixel coordinates x_l and x_r of a point in the two images. The depth Z is the distance from the camera to the point. The relationship is given by the equation:

$$Z = \frac{f \cdot T}{x_l - x_r}$$

Labels in the diagram include: **focal length** (pointing to f), **baseline** (pointing to T), **disparity** (pointing to $x_l - x_r$), and **Z** (pointing to the depth variable).

- Pour chaque point $p_l=(x_l, y_l)$, comment je peux trouver $p_r=(x_r, y_r)$?



left image



right image



left image



right image

the match will be on this line (same y)

(CAREFUL: this is only true for parallel cameras. Generally, line not horizontal)

On cherche ce point



left image x_l



right image x_l

the match will be **on the left** of x_l
how do I find it?

We call this line a **scanline**



left image



right image

we **scan** the line and **compare** patches to the one in the left image
We are looking for a patch on scanline most similar to patch on the left

How similar?



left image



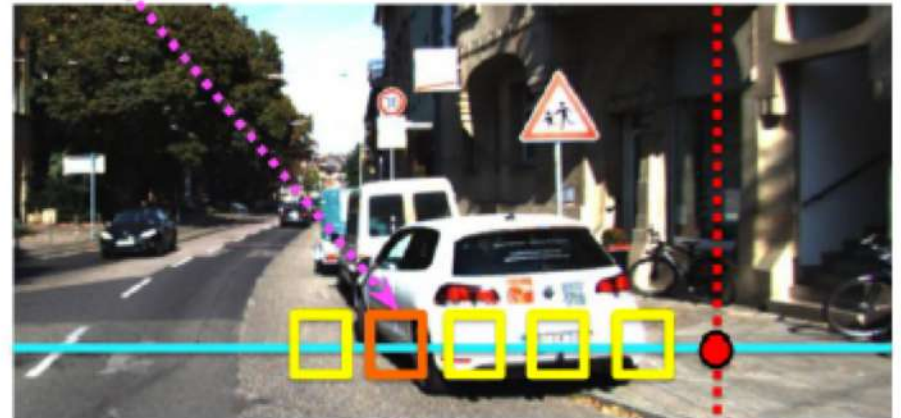
right image

we **scan** the line and **compare** patches to the one in the left image
We are looking for a patch on scanline most similar to patch on the left

How similar?



left image



right image

we **scan** the line and **compare** patches to the one in the left image
We are looking for a patch on scanline most similar to patch on the left

Most similar. A match!



left image



right image

we **scan** the line and **compare** patches to the one in the left image
We are looking for a patch on scanline most similar to patch on the left

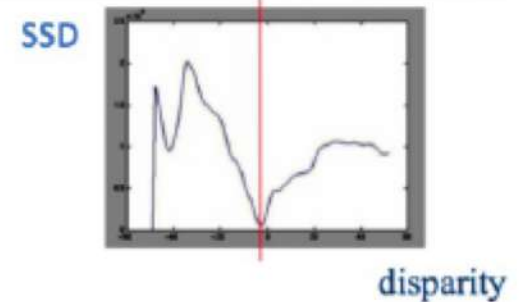
$$SSD(patch_l, patch_r) = \sum_x \sum_y (I_{patch_l}(x, y) - I_{patch_r}(x, y))^2$$



left image



Compute a matching cost
Matching cost: **SSD** (look for minima)



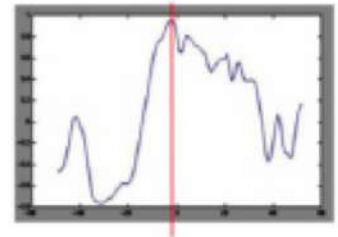
$$NC(\text{patch}_l, \text{patch}_r) = \frac{\sum_x \sum_y (I_{\text{patch}_l}(x, y) \cdot I_{\text{patch}_r}(x, y))}{\|I_{\text{patch}_l}\| \cdot \|I_{\text{patch}_r}\|}$$



left image



Norm.
Corr.



disparity

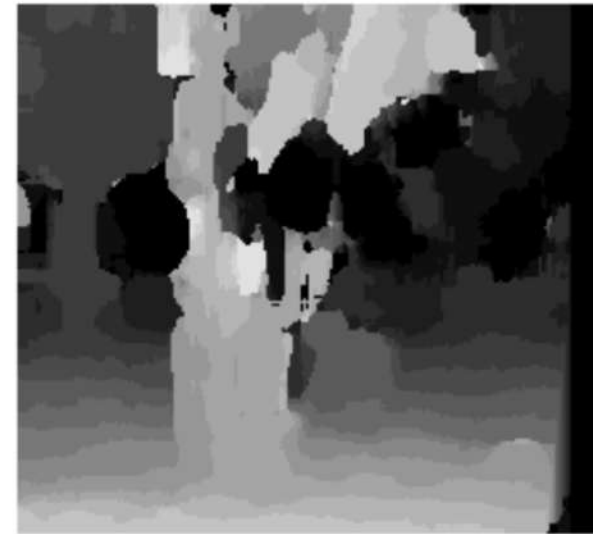
Compute a matching cost

Matching cost: **Normalized Corr. (look for maxima)**

Effet de la taille de la fenêtre



$W = 3$

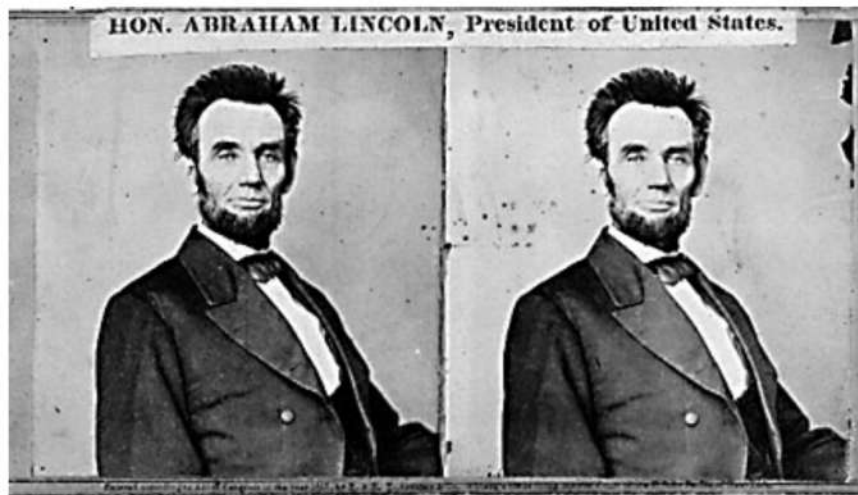


$W = 20$

- Smaller window
- + More detail
- More noise

- Larger window
- + Smoother disparity maps
- Less detail

Contraintes pour trouver les similarités

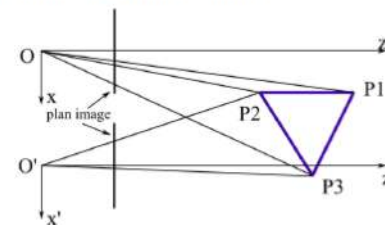


Textureless surfaces



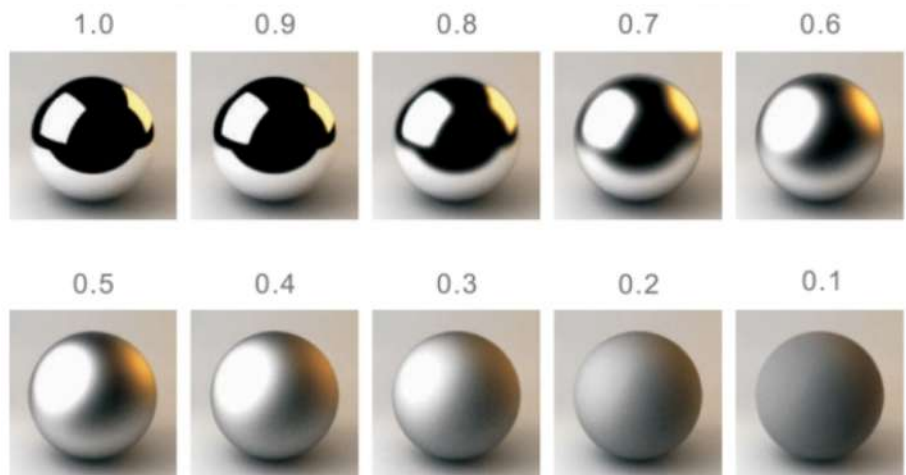
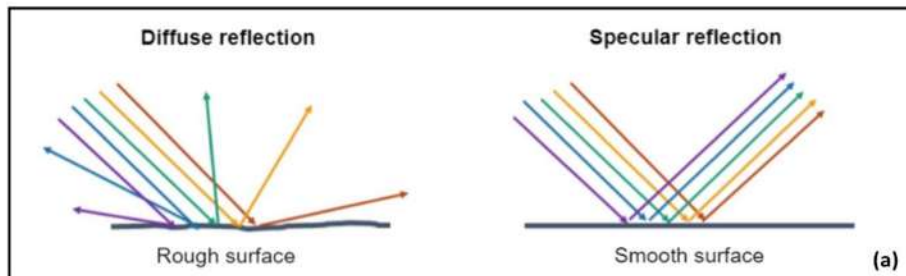
Occlusions, repetition

- Occultation : si $(P1, P2, P3)$ est un objet opaque, le point $P1$ n'aura pas de projection dans la caméra droite.



Contraintes de similarité

- surface spéculaire
- « Qui réfléchit la lumière comme un miroir »

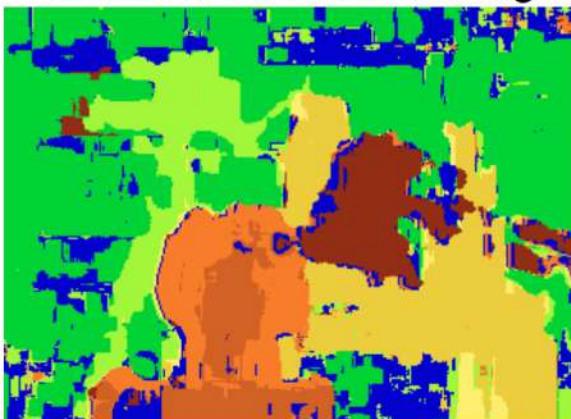


<https://ieeexplore.ieee.org/stamp/stamp.jsp?tp=&arnumber=8960991>

Résultats



Window-based matching



Ground truth



Résultats meilleurs avec autre méthode...



Graph cuts



Ground truth

Y. Boykov, O. Veksler, and R. Zabih,
[Fast Approximate Energy Minimization via Graph Cuts](#), PAMI 2001

Stéréovision dense vs épars

Stéréovision dense

- - Production d'une carte de profondeur, donnant Z pour tout point de l'image.
- - Coût calculatoire élevé dû au volume de données à traiter, lié à la résolution.
- - Nécessité d'un post-traitement pour l'analyse de scène : segmentation et/ou localisation (techniques classiques de vision par ordinateur).

► Stéréovision dense

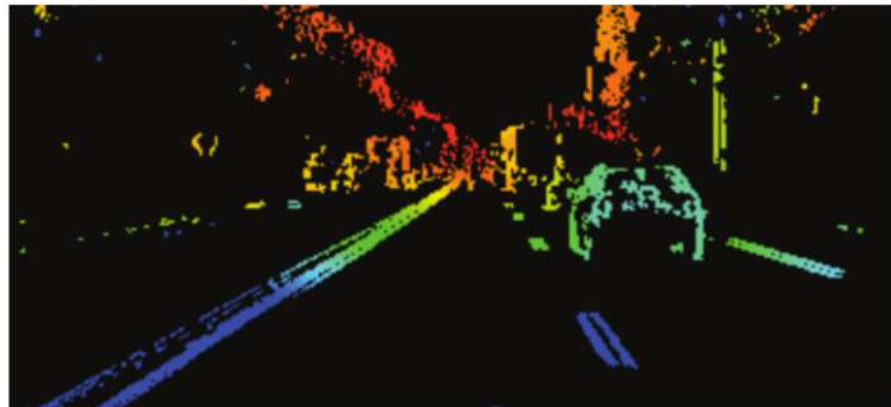


Stéréovision dense vs éparses

Stéréovision éparses

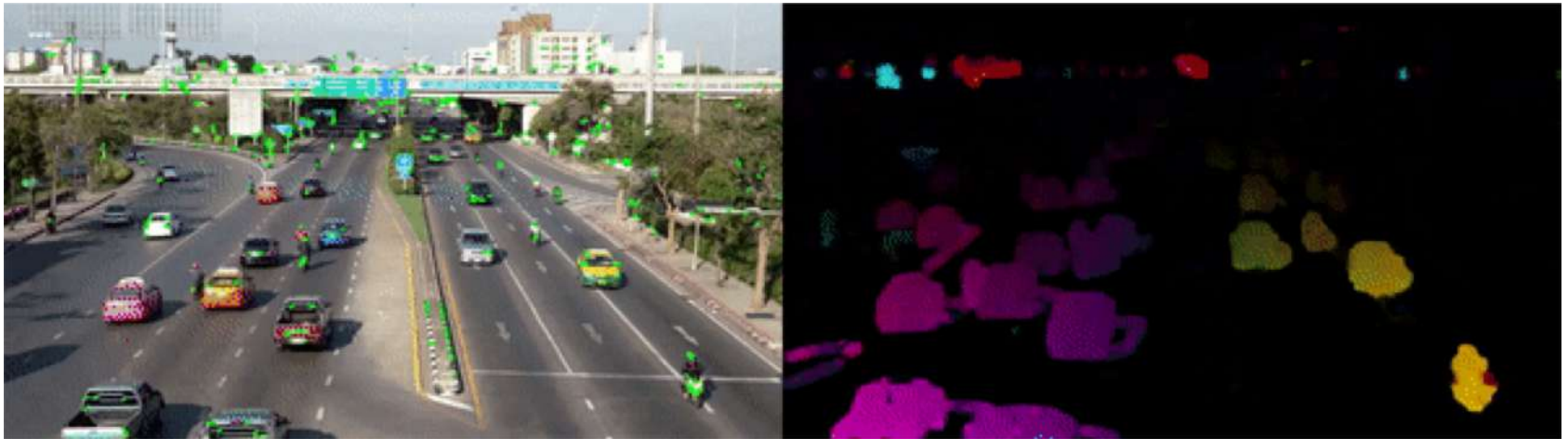
- - La profondeur est calculée uniquement sur des points caractéristiques (angles, coins, lignes, obstacles, etc.).
 - - Volume de données à traiter réduit.
 - - Mais les performances sont liées à celles du détecteur.
- Point clé dans les deux cas éparses ou denses : l'appariement !

► Stéréovision éparses



Rappel : flot optique

2 visualisations : flèches ou couleur HSV



<https://www.sefidian.com/2019/12/16/a-tutorial-on-motion-estimation-with-optical-flow-with-python-implementation/>

KITTI dataset



Welcome to the KITTI Vision Benchmark Suite!

We take advantage of our [autonomous driving platform Annieway](#) to develop novel challenging real-world computer vision benchmarks. Our tasks of interest are: stereo, optical flow, visual odometry, 3D object detection and 3D tracking. For this purpose, we equipped a standard station wagon with two high-resolution color and grayscale video cameras. Accurate ground truth is provided by a Velodyne laser scanner and a GPS localization system. Our datasets are captured by driving around the mid-size city of [Karlsruhe](#), in rural areas and on highways. Up to 15 cars and 30 pedestrians are visible per image. Besides providing all data in raw format, we extract benchmarks for each task. For each of our benchmarks, we also provide an evaluation metric and this evaluation website. Preliminary experiments show that methods ranking high on established benchmarks such as [Middlebury](#) perform below average when being moved outside the laboratory to the real world. Our goal is to reduce this bias and complement existing benchmarks by providing real-world benchmarks with novel difficulties to the community.



<https://www.cvlibs.net/datasets/kitti/>

Estimation de la profondeur monoculaire

- <https://ipolcore.ipol.im/demo/clientApp/demo.html?id=45901&key=BBD9A73D64B80F908982FF902F9CEA16>

Sources

- Cours Fei-Fei Li, Stanford vision lab, lecture9-10 stereo cs131
- CSE486, Penn State USA Robert Collins, Lecture 08: Introduction to Stereo
- Sanja Fidler CSC420: Intro to Image Understanding, Univ of Toronto Canada
- Stéréovision : Généralités & géométrie épipolaire
Systèmes de vision, INSA - ASI4 Sebastien Kramm